

(本试剂盒仅供体外研究使用， 不用于临床诊断！)

产品货号：E-BC-K057-S

产品规格：50 assays(48 samples)/100 assays(96 samples)

检测仪器：紫外-可见光分光光度计（628 nm）

Elabscience[®] 白蛋白(ALB)比色法测试盒(溴甲酚绿法)

Albumin (ALB) Colorimetric Assay Kit

(Bromocresol Green Method)

使用前请仔细阅读说明书。如果有任何问题，请通过以下方式联系我们：

电话：400-999-2100

邮箱：biochemical@elabscience.cn

网址：www.elabscience.cn

具体保质期请见试剂盒外包装标签。请在保质期内使用试剂盒。

联系时请提供产品批号(见试剂盒标签)，以便我们更高效地为您服务。

用途

本试剂盒适用于检测动物血清（浆）中的白蛋白含量。

检测原理

溴甲酚绿（BCG）在 pH 4.0-4.2 环境中与白蛋白结合，形成白蛋白-溴甲酚绿复合物，呈黄绿色，黄绿色的深浅与白蛋白浓度呈正比关系，通过比色可计算出血清中白蛋白的含量。

提供试剂和物品

编号	名称	规格 1(Size 1) (50 assays)	规格 2(Size 2) (100 assays)	保存方式 (Storage)
试剂一 (Reagent 1)	储备液 (Stock Solution)	30 mL×1 瓶	60 mL×1 瓶	2-8 ℃ 避光 保存 6 个月
试剂二 (Reagent 2)	40 g/L 标准品 (40g/L Standard)	0.3 mL×1 支	0.3 mL×1 支	-20 ℃ 保存 6 个月

说明：试剂严格按照上表中的保存条件保存，不同测试盒中的试剂不能混用。

对于体积较少的试剂，使用前请先离心，以免量取不到足够量的试剂。

所需自备物品

仪器：紫外-可见光分光光度计（628 nm）、涡旋混匀仪。

耗材：枪头（1000 μL, 200 μL, 10 μL）、EP 管（5 mL）、吸水纸、擦镜纸。

试剂：双蒸水、生理盐水（0.9% NaCl）或 PBS（0.01 M, pH 7.4）。

试剂准备

① 检测前，将试剂二从-20°C取出，放在冰上缓慢融化，其它试剂平衡至室温。

② 试剂一应用液的配制：

按试剂一：双蒸水为1: 4的体积比混匀，现配现用，未用完的试剂2-8°C可保存3天。

样本准备

① 样本处理

血清血浆等液体样本：可直接测定。

② 样本的稀释

在正式检测前，需选择2-3个预期差异大的样本稀释成不同浓度进行预实验，根据预实验的结果，结合本试剂盒的线性范围：0.5-70 g/L，请参考下表稀释(仅供参考)：

样本	稀释倍数	样本	稀释倍数
人血清	不稀释	小鼠血浆	不稀释
人血浆	不稀释	大鼠血清	不稀释

注：稀释液为生理盐水(0.9% NaCl)或 PBS(0.01 M, pH 7.4)。

操作步骤

- ① 空白管：取 10 μL 双蒸水加入到 5 mL EP 管中；
标准管：取 10 μL 40 g/L 标准品加入到 5 mL EP 管中；
测定管：取 10 μL 待测样本加入到 5 mL EP 管中。
- ② 向步骤①各管中加入 2500 μL 试剂一应用液，涡旋混匀后，室温静置 10 min。
- ③ 用 628 nm 波长，1 cm 光径石英比色皿，双蒸水调零，测定各管 OD 值。

操作表

	空白管	标准管	测定管
双蒸水 (μL)	10	--	--
40 g/L 标准品 (μL)	--	10	--
待测样本 (μL)	--	--	10
试剂一应用液 (μL)	2500	2500	2500
混匀，室温静置 10 min，用 628 nm 波长，1 cm 光径石英比色皿，双蒸水调零，测定各管 OD 值。			

结果计算

血清（浆）的计算公式：

$$\text{白蛋白浓度} = \frac{\Delta A_1}{\Delta A_2} \times c \times f$$

(g/L)

注解：

ΔA_1 : 样本的绝对 OD 值 (样本测定 OD 值-空白 OD 值)

ΔA_2 : 标准品的绝对 OD 值 (标准品 OD 值-空白 OD 值)

c: 标准品浓度 (40 g/L)

f: 样本加入检测体系前的稀释倍数

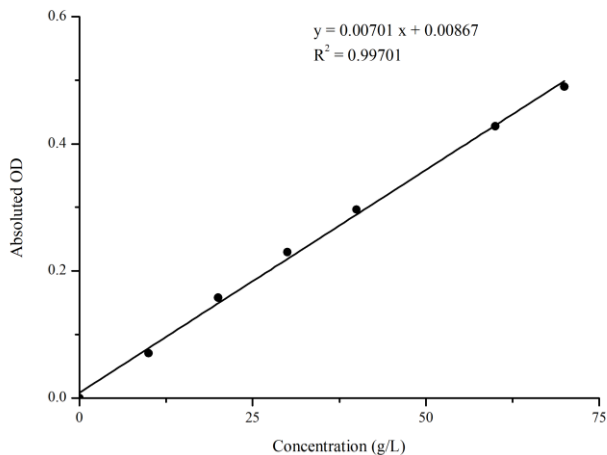
附录1 关键数据

1. 技术参数

检测范围	0.50-70 g/L	平均批间差	4.2 %
灵敏度	0.50 g/L	平均批内差	2.1 %
平均回收率	99 %		

2. 标准曲线(数据仅供参考)

① 标准曲线 (数据仅供参考) :



附录2 实例分析

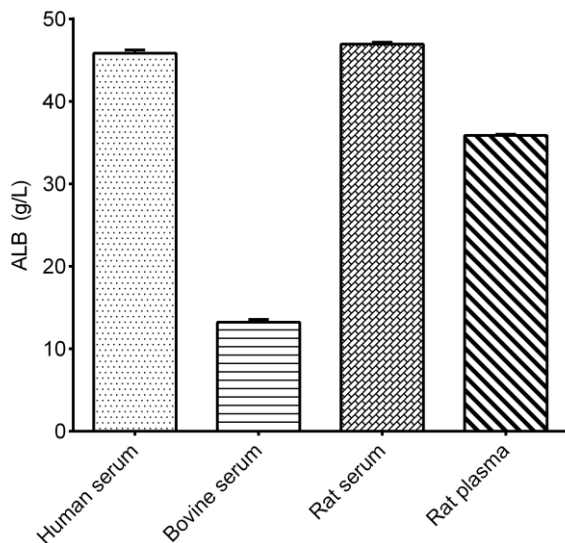
例如检测人血清(数据仅供参考):

取0.01 mL人血清，按操作表操作，结果如下。

空白管OD值为0.101，标准管OD值为0.404，测定管OD值为0.449，标准管浓度为40 g/L，计算结果为：

$$\text{白蛋白含量} = \frac{0.449-0.101}{0.404-0.101} \times 40 = 45.94 \text{ g/L}$$

按照说明书操作，测定人血清（加样量10 μL ）、牛血清（加样量10 μL ）、大鼠血清（加样量10 μL ）及大鼠血浆（加样量10 μL ）中的白蛋白含量（如下图）：



附录3 问题答疑

问题	可能原因	建议解决方案
测值不稳定，复孔差异大	加完试剂后混匀不充分	加完试剂后应充分混匀
样本和标准品显色异常	试剂一使用前未稀释或稀释有误	严格按照说明书进行试剂准备
样本测不出值	样本稀释倍数太大	选择合适稀释倍数，重新检测
	样本保存时间过长或者保存不当	取新鲜样本，重新检测
样本测量结果>70 g/L	样本浓度太高	选择合适稀释倍数，重新检测
读数数值低	用不恰当波长检测	选择正确的检测波长

声明

1. 试剂盒仅供研究使用，如将其用于临床诊断或任何其他用途，我公司将不对因此产生的问题负责，亦不承担任何法律责任。
2. 实验前请仔细阅读说明书并调整好仪器，严格按照说明书进行实验。
3. 实验中请穿着实验服并戴乳胶手套做好防护工作。
4. 试剂盒检测范围不等同于样本中待测物的浓度范围。如果样品中待测物浓度过高或过低，请对样本做适当的稀释或浓缩。
5. 若所检样本不在说明书所列样本类型之中，建议先做预实验验证其检测有效性。
6. 最终的实验结果与试剂的有效性、实验者的相关操作以及实验环境等因素密切相关。本公司只对试剂盒本身负责，不对因使用试剂盒所造成的样本消耗负责，使用前请充分考虑样本可能的使用量，预留充足的样本。

附录4 客户发表文献

1. Zhang X, He C, Chen Y, et al. Cyclic reactions-mediated self-supply of H₂O₂ and O₂ for cooperative chemodynamic/starvation cancer therapy[J]. Biomaterials, 2021, 275:120987-. IF:12.479
2. Xia H, Scholtes C, Dufour CR, et al. Insulin action and resistance are dependent on a GSK3β-FBXW7-ERRα transcriptional axis. Nat Commun. 2022; 13 (1):2105. IF:14.919
3. Liu Q, Zhang T X, Zheng Y D, et al. Calixarene-Embedded Nanoparticles for Interference-Free Gene–Drug Combination Cancer Therapy[J]. Small, 2021, 2006223. IF:11.459
4. He C, Zhang X, Chen C, et al. A solid lipid coated calcium peroxide nanocarrier enables combined cancer chemo/chemodynamic therapy with O₂/H₂O₂ self-sufficiency[J]. Acta Biomaterialia, 2021, 122. IF:8.203
5. Chen L, Tao F, Zhang Y, et al. Islet-cell autoantigen 69 accelerates liver regeneration by downregulating Tgfb1 and attenuating Tgfβsignaling in mice[J]. FEBS Letters, 2020, 594(17). IF:6.665
6. Omar N, Frank J, Kruger J, et al. Effects of High Intakes of Fructose and Galactose, with or Without Added Fructooligosaccharides, on Metabolic Factors, Inflammation, and Gut Integrity in a Rat Model[J]. Molecular Nutrition & Food Research, 2021:2001133. IF:5.914
7. Wang C, Ma C, Fu K, et al. Phillygenin Attenuates Carbon Tetrachloride-Induced Liver Fibrosis via Modulating Inflammation and Gut Microbiota[J]. Frontiers in Pharmacology, 2021, 9, 21. IF:5.81
8. Du Y Q, Zheng Y Z, Yu C X M, et al. The Mechanisms of Yu Ping Feng San in Tracking the Cisplatin-Resistance by Regulating ATP-Binding Cassette Transporter and Glutathione S-Transferase in Lung Cancer Cells[J].Frontiers in Pharmacology, 2021; 12: 678126. IF:5.81
9. Zeng X Peng, Wang L J, Guo L H, et al. Dasatinib ameliorates chronic pancreatitis induced by caerulein via anti-fibrotic and anti-inflammatory mechanism[J]. Pharmacological Research, 2019, 147, 104357. IF:5.574
10. Cao X, Liang Y, Liu R, et al. Uncovering the Pharmacological Mechanisms of Gexia-Zhuyu Formula (GXZY) in Treating Liver Cirrhosis by an Integrative Pharmacology Strategy. Front Pharmacol. 2022; 13:793888. IF:5.331

11. Wang Y, Xie W, Feng Y, et al. Epithelial-derived exosomes promote M2 macrophage polarization via Notch2/SOCS1 during mechanical ventilation. *Int J Mol Med*. 2022; 50 (1). IF:5.314
12. Jung D S, Son Y J, Shin J M, et al. Gymnaster Koraiensis Extract Alleviated Metabolic Syndrome Symptoms and Stimulated UCP1-Independent Energy Consumption via AMPK Activation in White Adipose Tissue[J]. *Molecular Nutrition & Food Research*, 2020. IF:5.309
13. Ali A K, Komal A K, Almutairi S M, et al. Natural killer cell-derived IL-10 prevents liver damage during sustained murine cytomegalovirus infection[J]. *Frontiers in immunology*, 2019, 10: 2688. IF:5.085
14. Xu Y , Zhang Y , Xu Y , et al. Activation of CD137 signaling promotes macrophage apoptosis dependent on p38 MAPK pathway-mediated mitochondrial fission[J]. *The International Journal of Biochemistry & Cell Biology*, 2021 Jul;136:106003. IF:5.085
15. Naseh A, Shirin B, Maryam M,et al.Attenuation of chronic arsenic neurotoxicity via melatonin in male offspring of maternal rats exposed to arsenic during conception: Involvement of oxidative DNA damage and inflammatory signaling cascades[J]. *Life Sciences* 266 (2021) 118876. IF:5.037
16. Ahmed A E, Alshehri A, Al-Kahtani M A, et al. Vitamin E and selenium administration synergistically mitigates ivermectin and doramectin-induced testicular dysfunction in male Wistar albino rats[J]. *Biomedicine & Pharmacotherapy*, 2020, 124: 109841. IF:4.545
17. Su S, Tian H, Jia X, et al. Mechanistic insights into the effects of SREBP1c on hepatic stellate cell and liver fibrosis[J]. *Journal of Cellular and Molecular Medicine*, 2020. IF:4.486
18. Wang L J, He L, Hao L, et al. Isoliquiritigenin ameliorates caerulein-induced chronic pancreatitis by inhibiting the activation of PSCs and pancreatic infiltration of macrophages[J]. *Journal of Cellular and Molecular Medicine*, 2020. IF:4.486
19. Dejan Lazić, Andreas Scheurer, Dušan Ćočić, et al. New bis-pyrazolylpyridine ruthenium(III) complex as a potential anticancer drug: In vitro and in vivo activity in murine colon cancer[J]. *Dalton Transactions*, 2021 Jun; 50(22):7686-7704. IF:4.39
20. Li X, Lv Z, Chen J, et al. *Bacillus amyloliquefaciens* B10 can alleviate liver apoptosis and oxidative stress induced by aflatoxin B1[J]. *Food and Chemical Toxicology*, 2021, 151:112124. IF:4.06
21. Amany Abdel-Rahman Mohamed , Safaa I. Khater , Ahmed Hamed Arisha , et al.

- Chitosan-stabilized selenium nanoparticles alleviate cardio-hepatic damage in type 2 diabetes mellitus model via regulation of caspase, Bax/Bcl-2, and Fas/FasL-pathway[J]. Gene, 2020, 768(7):145288. IF:3.688
- 22. Zhang S, Jiang L, Hu H, et al. Pretreatment of exosomes derived from hUCMSCs with TNF- α ameliorates acute liver failure by inhibiting the activation of NLRP3 in macrophage[J]. Life Sciences, 2020, 246: 117401. IF:3.647
 - 23. Yu H, Zhang L, Chen P, et al. Dietary bile acids enhance growth, and alleviate hepatic fibrosis induced by a high starch diet via AKT/FOXO1 and cAMP/AMPK/SREBP1 pathway in Micropterus salmoides[J]. Frontiers in Physiology, 2019, 10. IF:3.367
 - 24. Sohini Sen, Shaunak Ghosh, Sayantan De, et al. Immunomodulatory and antimicrobial non-mulberry Antheraea mylitta silk fibroin accelerates in vitro fibroblast repair and regeneration by protecting oxidative stress[J]. RSC Advances, 2021 May; 11(31):19265-19282. IF:3.361
 - 25. Li Jianda,Yuan Chen,Liu Peng et al. Red blood cells serve as a vehicle for PEDV transmission.[J] .Vet Microbiol, 2021, 257: 109081. IF:3.293
 - 26. Chen L, Tao F, Zhang Y, et al. Islet-cell autoantigen 69 accelerates liver regeneration by downregulating Tgfb1 and attenuating Tgf β signaling in mice[J]. FEBS Letters, 2020. IF:3.057
 - 27. Cui Y, Wang Y, Liu G. Protective Effect of Barbaloin in a Rat Model of Myocardial Ischemia Reperfusion Injury Through the Regulation of the CNPY2?PERK Pathway[J]. International Journal of Molecular Medicine, 2019. IF:2.928
 - 28. Sun Yan-Chun, Han Shi-Cheng, Yao Ming-Zhu, et al. High-throughput metabolomics method based on liquid chromatography-mass spectrometry: Insights into the underlying mechanisms of salinity-alkalinity exposure-induced metabolites changes in Barbus capito[J]. Journal of Separation Science, 2021 Jan; 44(2):497-512. IF:2.878
 - 29. Mustafa H N, Hegazy G A, El Awdan S A, et al. Liver ischemia/reperfusion injury, a setting in which the functional mass is reduced and the role of PDE5 inhibitor[J]. Eur. J. Anat, 2019, 23(5): 325-332. IF:2.638
 - 30. Chen L, Ma K, Fan H, et al. Exogenous hydrogen sulfide protects against hepatic ischemia/reperfusion injury by inhibiting endoplasmic reticulum stress and cell apoptosis.[J]. Spandidos Publications, 2021(2). IF:2.447